

出版者的話

这套全国统一的教材是根据中华人民共和国劳动部于1959年4月在上海召开的全国技工学校工作会议上确定的二年制技工学校培训目标、课程内容及课时分配等规定进行编写的。初稿由技工学校比较集中的十个省、市劳动厅（局）组织各技工学校的教师编写而成，最后由劳动部会同第一机械工业部、冶金工业部、煤炭工业部、铁道部等单位组成的全国技工学校教材编审委员会统一审定。

这套教材的主要特点是：1) 内容比较完整：每本教材都是在总结技工学校过去教学经验基础上由各地与该课有关的教师集体编写成的，选材慎重，内容比较丰富全面；2) 切合实际：内容比较切合我国实际情况，其中吸取了苏联技工教材的优点。另外还根据我国技工学校的特点增加了不少新的章节。

本书分上、中、下三册出版。本册为中册，内容包括：金属磨削原理、外圆磨床、内圆磨床、平面磨床等。

本书可供二年制技工学校作为教材。

NO. 3045

1960年12月第一版 1960年12月第一版第一次印刷

850×1163¹/₃₂ 字数 242 千字 印张 9⁸/₁₆ 00,001—32,000 册

机械工业出版社(北京阜成门外百万庄)出版

机械工业出版社印刷厂印刷

新华书店科技发行所发行 全国各地新华书店经售

北京市书刊出版业营业许可证出字第008号 定价(7-1) 0.89元

技工学校教材

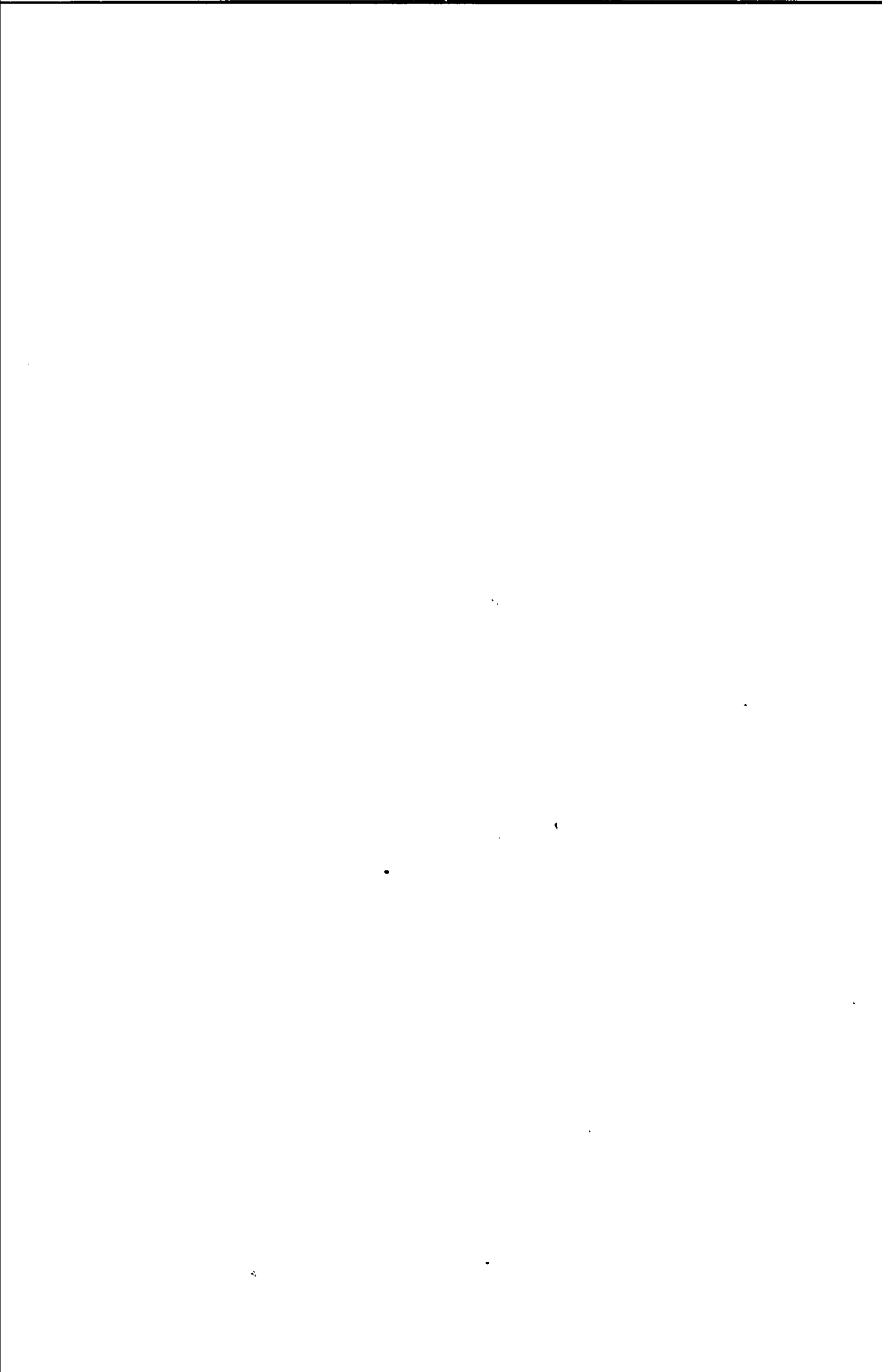
初中毕业程度适用

磨工工艺学

中册

全国技工学校教材编审委员会编

机械工业出版社



目 次

第五篇 金屬磨削原理

第一章 金屬切削的基本概念	5
1 金屬切削的发展概况	5
2 金屬切削过程	6
3 車削的基本概念	9
4 銑削的基本概念	10
第二章 金屬磨削原理	12
1 金屬磨削簡史及磨削過程	12
2 磨削最大切屑厚度的計算	15
3 各種磨削方式接觸弧長的計算	19
4 磨削過程中各種因素對切屑厚度和接觸弧長的影響	19
5 磨削熱的產生及其影響	25
6 磨削後工件的表面質量	26
7 磨削時機動時間的計算	31
8 磨屑的總斷面積	35
9 磨削的切削力和動力的消耗	37
第三章 砂輪	41
1 砂輪的概念	41
2 磨料	42
3 磨料的粒度	46
4 結合劑	48
5 砂輪的硬度	50
6 砂輪的組織	53
7 砂輪的幾何形狀和代號	55
8 砂輪的儲藏、運輸及保養	60
9 砂輪的耐用度	60
第四章 砂輪及切削用量的選擇	63
1 選擇砂輪的基本原則	63
2 磨削余量的選擇	73
3 磨削用量的選擇	74
第五章 高速磨削	86
基本特性	86
高速磨削時機床的准备工作	88

3 高速磨削用的砂輪	91
4 高速磨削时的切削用量	92

第六篇 磨 床

第一章 磨床概述 93

1 磨床在机械制造业中的地位	93
2 磨床在我国历史上的发展简介	94
3 解放后我国机床制造业的发展概况	95
4 金属切削机床的分类和编号	96

第二章 机械传动及磨床的典型传动机构 103

1 磨床传动的概念	103
2 螺纹	104
3 摩擦传动	107
4 皮带传动	114
5 齿轮传动	127
6 链传动	142
7 蝴蝶蝴蝶杆传动	146
8 轮系	149
9 轴和轴承	159
10 离合器	174
11 凸轮	178
12 磨床机械传动的典型机构	182
13 液压传动	193
14 磨床的操纵设备	215

第三章 外圆磨床 227

1 一般介绍	227
2 M125W万能外圆磨床	229
3 M115型外圆磨床	242

第四章 内圆磨床 255

1 一般介绍	255
2 虹江51型内圆磨床	257
3 3250型内圆磨床	267

第五章 平面磨床 277

1 一般介绍	277
2 M7130型卧式平面磨床	279
3 M7230(3732)型立式平面磨床	293

第五篇 金屬磨削原理

第一章 金屬切削的基本概念

1 金屬切削的发展概况

根据古代文物判断，人类自鐵器时代起就运用了磨削。而最早运用的还是我們偉大的中华民族。直到十四世紀，中国在力学与机械学方面的成就都超过了西方。

远在皇帝时代我們祖先就发明了指南車，周礼考工記上記載了有关車的制造工序；这是世界上最早的机器制造工艺方面的书籍。汉代的車上就用了金屬的軸与軸承，这就不可避免要經過金屬切削加工。事实上不論运输机械，兵器和首飾，都不免要經過切削加工，至少要經過磨加工。

1668年我国的銑工就已經发展到与目前很类似的型式，还采用了鑲片銑刀。当时的磨工，刃磨刀片的磨床原理与現在一般使用的简单磨床相同(参看第六篇第一章)，只是后来我国劳动人民淪于帝国主义侵略和封建統治之下，受着殘酷的經濟剥削和政治压迫，过着极端貧穷落后的生活，因此，使中国社会发展陷于极端迟緩的状态中。

在資本主义社会开始以前，很难說有过什么金屬切削原理的研究，只是在十九世紀六十年代里，西方資本主义国家中才有人开始研究金屬切削过程，但沒有得到什么正确結論。金屬切削理論的研究历史应当从1870~1877年俄国彼得堡矿业学校基麦教授对金屬切屑形成的研究算起，至今还不到九十年。而金屬切削理論形成一門科学，则是在十月革命以后，是苏联科学 家的偉大

貢獻。

苏联在 1936 年，根据苏共中央在 1935 年 12 月全会的决定，成立了金属切削研究委员会，使切削原理的研究工作进入了一个新的阶段。从此，分散的无组织的研究力量在苏联共产党的领导之下汇合成了一支有组织、有目的、有步骤、有统一方法和观点的科学大军。同时出现了高速切削，这比美国在 1944 年才出现高速切削，提前了八年。

在我国，解放前根本談不到自己的机器制造业，全国机床数目很少，只能做些零星的修配工作。解放后，我国人民在党的英明领导下和在苏联及其他人民民主国家的帮助下，胜利地完成了第一个五年计划，初步奠定了社会主义工业化基础。金属切削技术在学习苏联先进经验的基础上得到了迅速地发展，高速切削曾在全国范围内推广，硬质合金刀已被广泛采用，同时还开始了对陶瓷刀的研究和试用。通过 1958 年的大跃进，在我国普遍地建立了各有关研究所和实验室，形成了一个群众性的向技术革命和文化革命的大进军。

我們坚信，在党的领导下和在苏联及其他人民民主国家的帮助下，我們一定能够迅速地实现机械化、半机械化、自动化、半自动化，逐步地把我国建成一个具有现代工业、现代农业和现代科学文化的伟大的社会主义国家。

2 金属切削过程

金属切削过程，是从工件上切下多余金属层的过程，以使工件的尺寸、几何形状和表面光洁度达到预先规定的技术要求。我們把切下的金属叫做切屑。

研究金属切削过程（包括磨削过程在内），首先是从研究切屑怎样形成开始的。切屑的形成与刀具本身的几何形状有关。尽管刀具的几何形状有所不同，但是切屑的形成过程基本上是相类似的。所以我們可以从简单的刀具——刨刀做为例子来进行討論。

圖 1-1 所示为刨刀切削金屬的情形，把它与尖楔(图 1-2)来比較一下，我們可以发现刨刀或其它刀具的切削部分跟尖楔有许多相似的地方。例如有刀刃、工作表面，能劈入材料并把材料分离开来，所以說，尖楔的两个工作面跟作用力的方向是相对称的，对被劈材料也有相同的作用。而刀具与此恰好相反，它的工作表面跟切削力方向不对称，作用亦不同，所以把它分为前面、主后面、副后面和底平面等。

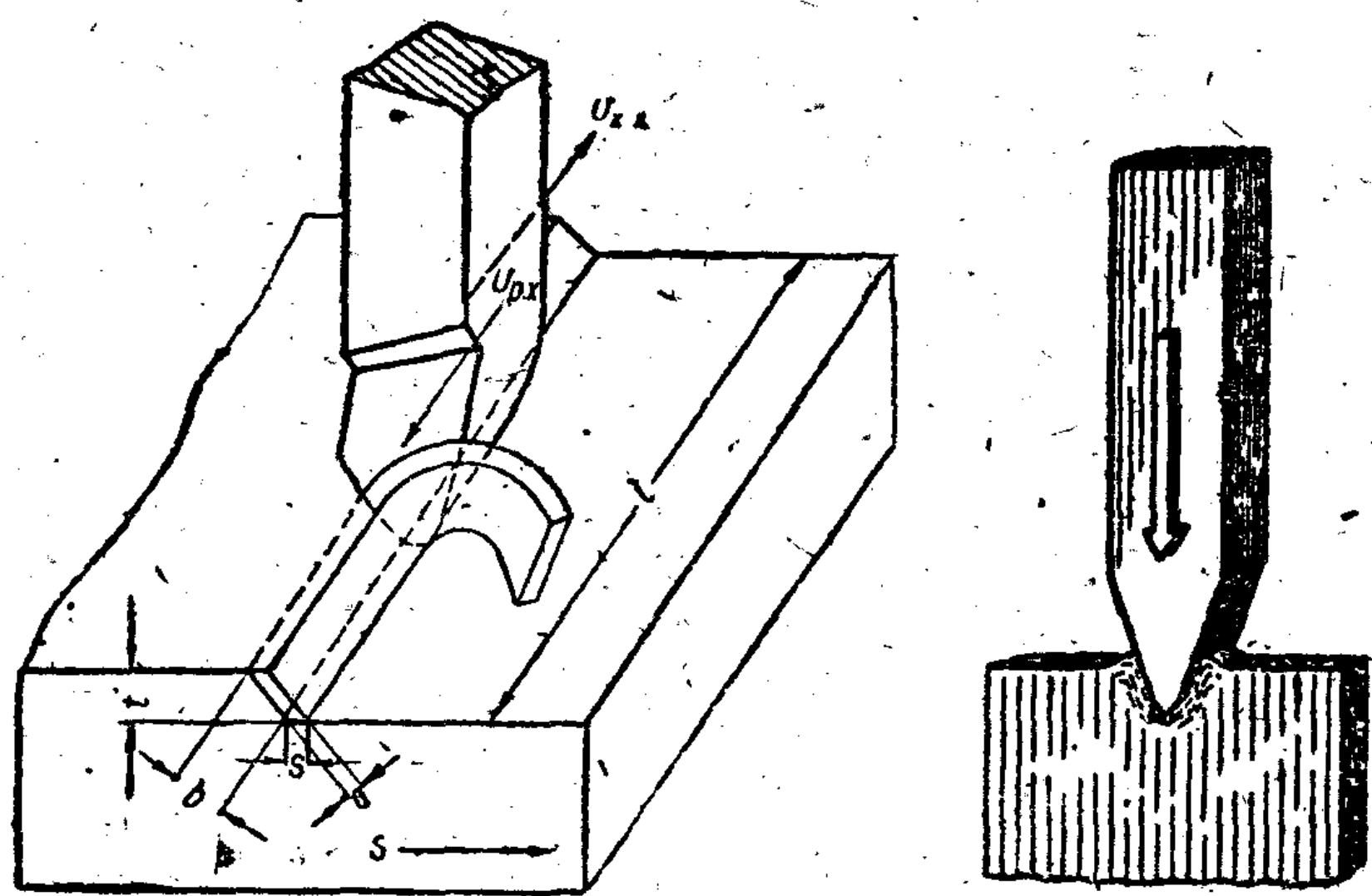


图1-1 刨削过程。

图1-2 楔的作用。

刀具的前面和后面与切削过程有很大关系，其位置視刀具的结构不同而定。

图 1-3 示出了刨刀的各主要角度：前角(γ)、后角(α)、楔角(β) 和切削角(δ)。

当刨刀对工件作相对运动时，在切削力 P 的作用下，压入工件上要切去的金属层里，如图 1-3 所示。当刀具继续向前运动时切削层受到了压缩而产生彈性和塑性变形，使金属分子之間发生相对移动，如图 1-3 丙所示。

随着刨刀的推进，金属变形也急剧增加，直到金属发生局部

破裂为止，也就是变形的小块金属被剪断切掉为止。这种小块叫做切屑单体。刨刀继续推进时，下一部分金属小块发生变形，然后又被剪断切下。刀具切入金属产生挤压和剪刀作用，迫使金属产生变形和相对工件移动，形成切屑单体。连续形成切屑单体的过程就是切削过程。

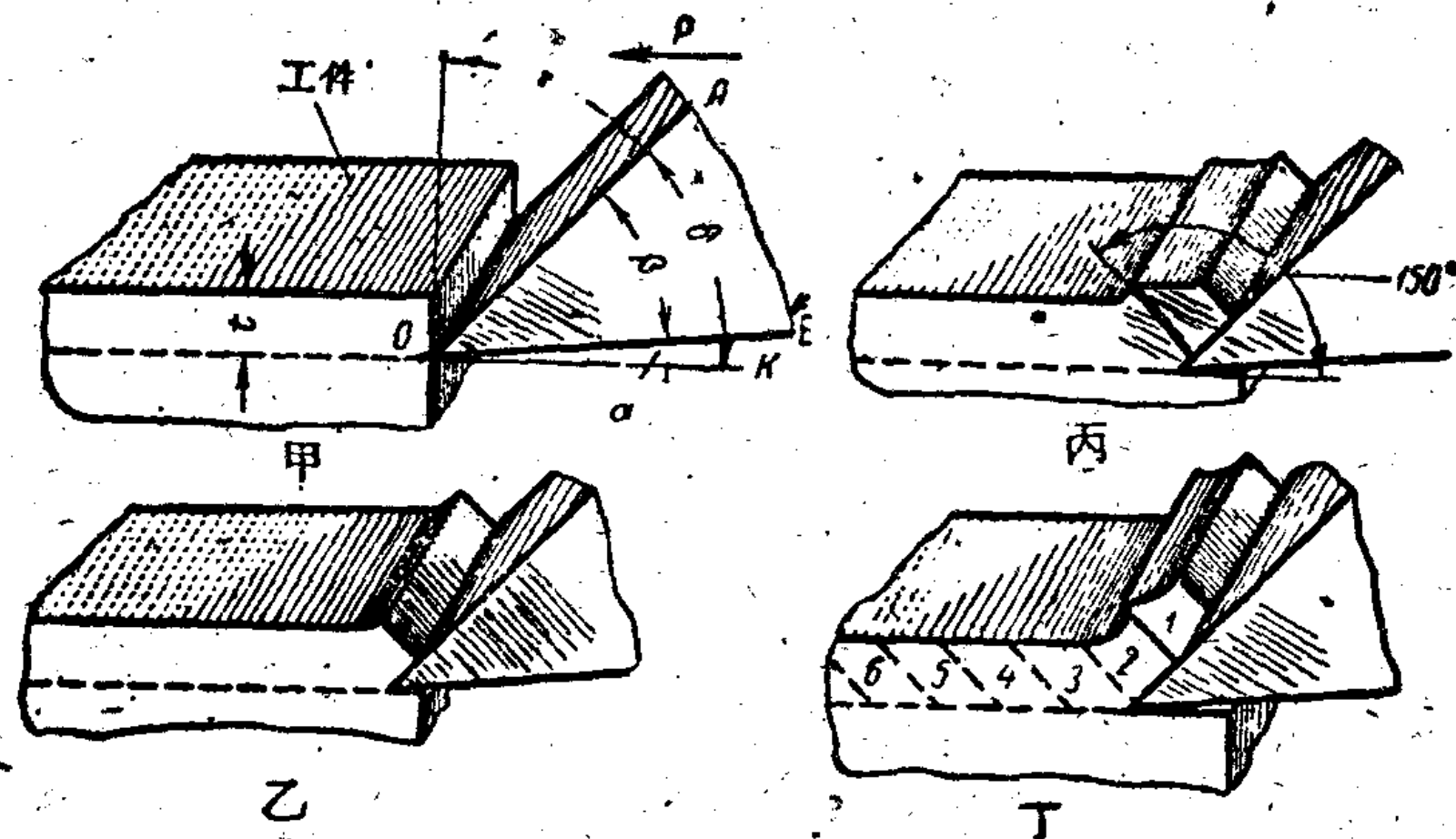


图1-3 切屑形成过程。

在金属切削过程中，由于刀具的几何形状、切削用量、被加工材料的不同，而形成的金属屑亦有所不同。当切削中等硬度的材料时，所产生的切屑单体彼此结合得相当紧密，成阶梯形，故谓之断续切屑或阶段状切屑（图1-4甲）；而切削软金属时，切屑单体之间结合得非常紧密，很难将它们一块一块的区别开来，而且形成很长的带状，故谓之带状切屑（图1-4乙）。但当用普通切削速度和切削角度很大的刀具加工脆性金属时，切屑则以单一的小碎块出现，则这种切屑叫做碎断切屑（图1-4丙）。例如加工铸铁和其它脆性金属时，一般都得到碎断切屑。

在形成各种切屑的过程中，同时产生切屑变形、加工表面硬化和切削热的现象，而且都与我们实际工作有重要关系。因此进一步地深入学习切削原理具有很大的意义。

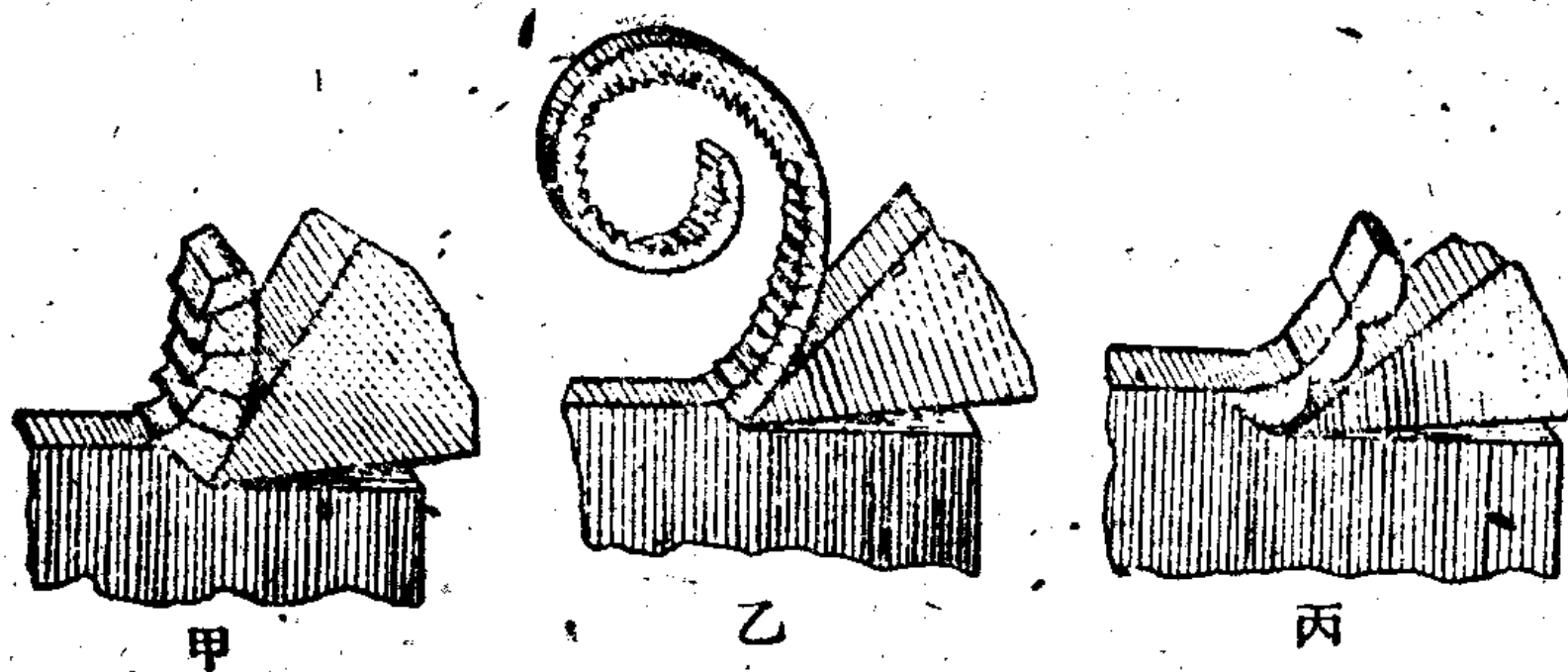


图1-4 切屑的形状:

甲—断裂切屑；乙—带状切屑；丙—碎断切屑。

3 车削的基本概念

车削是金属切削加工中最基本的应用最广泛的一种加工方法。

车削是利用车刀在车床上对工件进行加工。用这种方法，可以加工内、外圆柱形、内外圆锥形和特形表面的旋转体，此外还可以加工各种螺纹等。例如轴、轴套、圆盘、垫圈、齿轮毛坯、法兰盘、螺钉、螺帽、丝杠等等。

车削工作是由两种运动来完成，即主切削运动和走刀运动。主切削运动（工件旋转运动）使刀具从工件表面上切下切屑；车削的主切削运动即是工件的旋转运动，它与切削速度不同，切削速度取决于工件直径大小和车床主轴的转速，其关系可由下式表示：

$$v = \frac{\pi D n}{1000} \text{米/分},$$

式中 D ——工件直径（毫米）； n ——车床主轴转速（转/分）。

切削速度是工件表层相对车刀移动的速度；走刀运动以工件每转一转刀具沿纵向进给的多少表示，即走刀量 S 。走刀量的大小对切屑大小有很大影响，如图 1-5 所示。

切屑厚度 $a = S \cdot \sin \varphi$ （毫米），

切屑宽度 $b = t \cdot \frac{1}{\sin \varphi}$ （毫米），

式中 s —— 走刀量(毫米/轉); t —— 切削深度(毫米); φ —— 車刀主偏角(度)。

当車刀以 v 、 s 、 t 的切削用量切入工件时，金属反抗刀具切入，这就是切削抗力，而刀具切削工件的作用力称切削力；切削力和切削抗力(阻力)二者大小相等方向相反。它们的大小由 v 、 s 、 t 的大小决定。

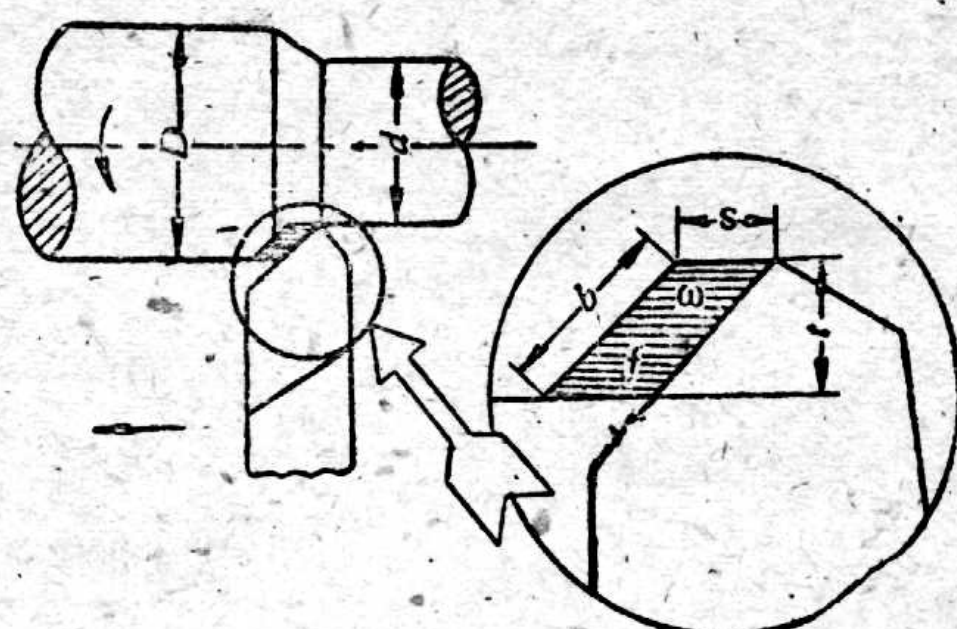


图1-5 车削因素及切屑面积。

4 銑削的基本概念

铣削系用各种铣刀在铣床上进行切削加工的一种方法。它可以加工平面、成形面、沟槽、螺纹、齿轮、切断材料等。

铣刀是一种多刃刀具。图 1-6 的圆圈中示出了铣刀的一个刀齿，它实际上就是一把车刀，在图中还表示出它的各个角度，都相当于车刀的各个角度。

铣切时，铣刀绕自己的心轴旋转，而工件迎着铣刀的旋转方向向左移动。当铣刀的刀齿处在垂直线 OC 上时，就开始切削金属，而切屑厚度从零逐渐增加至最大，且成为[撇状]。一次行程所铣去金属层的厚度，叫铣切深度。

如果用 D 表示铣刀直径， n 表示铣刀转速，则铣削速度 v 可

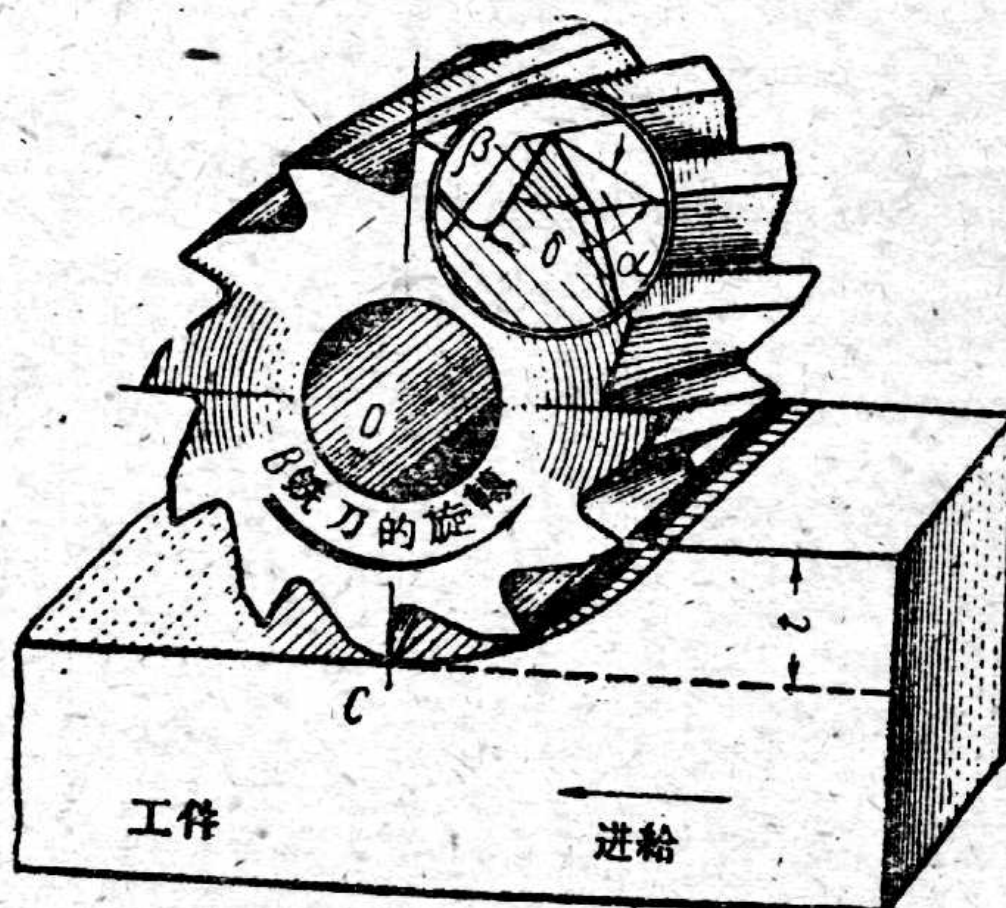


图1-6 铣切过程。

按下式計算：

$$v = \frac{\pi D_n}{1000} \text{米/分。}$$

在調整机床时，通常利用这公式計算所需的轉數以获得規定的切削速度。

銑削时的进刀量可以分为三种：每齿进刀量，每轉进刀量和每分钟进刀量。

銑刀每旋轉一个齒距，也就是每轉过相邻二个刀齒之間的角度时，被加工工件所移的距离（毫米）叫做每齿进刀量 S_z ，如图 1-7 所示。

銑刀旋轉一轉，被加工工件所移动的距离叫做每轉进刀量 S_0 ，以毫米/轉計算：

$$S_0 = S_z \cdot Z \text{ 毫米/轉。}$$

每分钟走刀量 S_n 是工件在每分钟内移动的距离，可用下式表示：

$$S_n = S_0 \cdot n = S_z \cdot Z \cdot n$$

$$\text{毫米/分。}$$

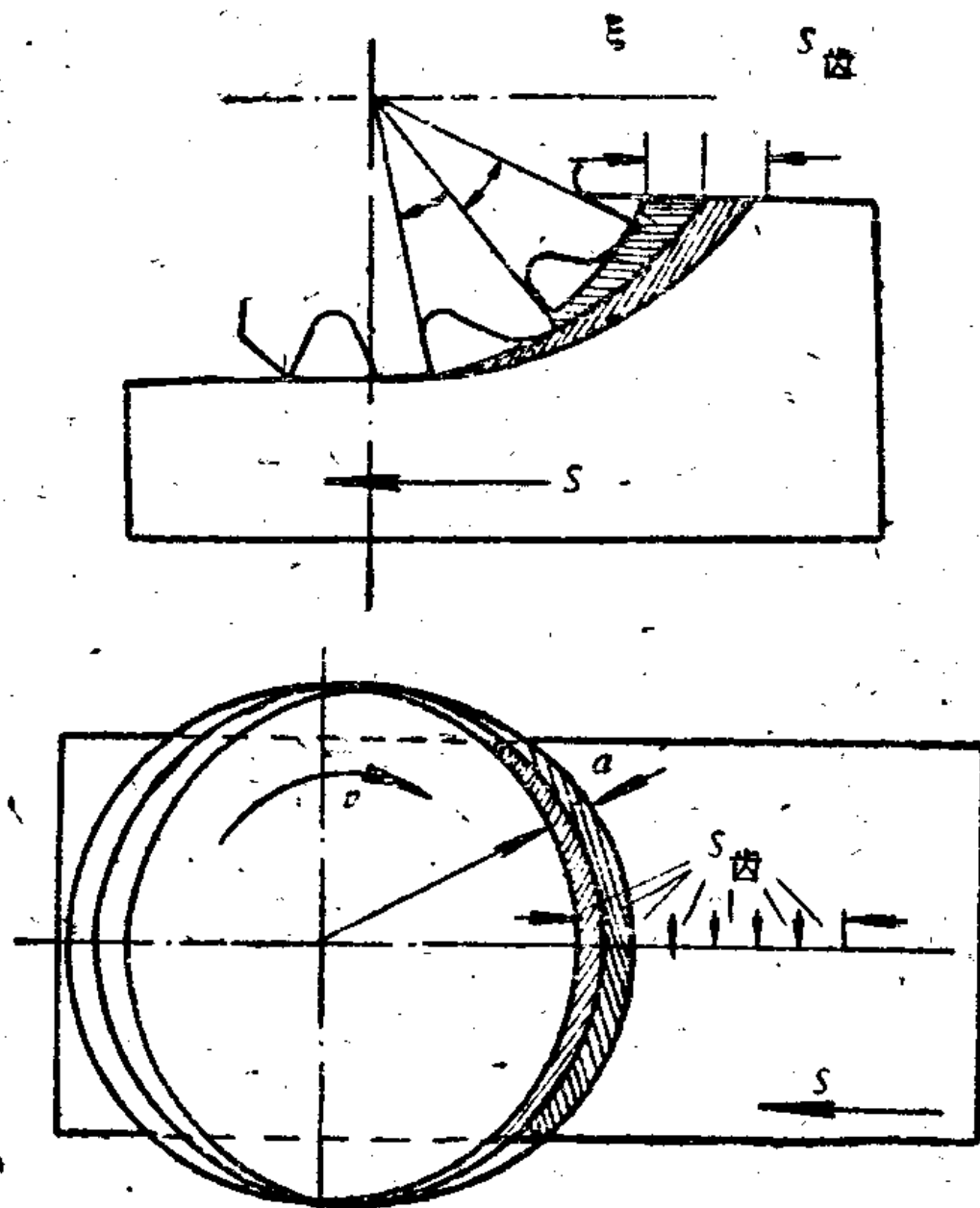


图1-7 平面銑削。

为了加工工件，銑刀应当克服切削抗力——切削力。

切削力大小的数值，对于不同的加工条件來說，具有很重要的实际意义，在某些情况下，譬如說粗銑鋼件时，切削力可以达到好几吨，精銑生鐵或輕合金的工件时切削力則低到几十公斤。

对于沉重的銑削工作应采用較精加工时剛性更强的机床、刀具和夾具。

在選擇銑刀的幾何形狀和構造時，一定要考慮到加工的性質，以及切削力的大小。通曉各種金屬的切削抗力便能正確選擇切削用量和更充分的發揮機床和刀具的工作能力。

復習題

1. 試述金屬切削的發展概況。
2. 簡述金屬切削過程。
3. 試述車削因素及其對切屑面積的影響。
4. 比較銑削和車削有何異同之處？
5. 銑削因素及其對切屑面積的影響是什麼？

第二章 金屬磨削原理

1 金屬磨削簡史及磨削過程

前章講過，人類自銹器時代起就運用了磨削。但是作為一種加工方法，甚至還要更早一些。遠在石器時代，人類的祖先為了保證自身的安全和獵取野獸的需要，他們便把石頭互相磨削，使它變成尖銳鋒利的武器；不過那時候不是磨削金屬而已。

到了銅器、鐵器時代，人類採用了金屬生產工具，石器互相磨銳就變成金屬磨削了。例如刀子鈍了，人們就想辦法把它在磨石上磨利，物件表面毛了，用磨石把它磨光等。古人有「鑄梁磨鎌針」的說法，可見磨削的方法在很早很早的時代就為人類所了解和应用了，磨削是金屬切削加工方法中最原始和最普遍的一種。

1668年中國發明了平面磨床和刀片磨床（參看第六篇磨床概況一章），金屬磨削加工便得到了新的發展。磨床由手搖、腳踏、馬拉，以至逐漸改變為電力傳動，最後發展成為現代各種型式的磨床。不過在當時的磨床上用的磨輪都是天然磨石，到了資本主義時代，人類才掌握了利用天然磨料製造砂輪，因而促進了砂輪制

造工业的发展，大大地扩大了磨削的应用范围。十九世纪以后，人造磨料的采用，更加速了磨削的发展。近世纪机械工业方面的許多新的发明、創造和改进，更充实了磨削工艺。

苏联十月革命后，磨削工艺得到了空前的发展。苏联的磨料生产和磨床制造业的提高，更促使磨削工艺向前推进。例如在1951年掌握了綠色碳化硅生产新的工艺方法。磨料工业保証能制造出各种各样的砂輪，細磨金屬和其他材料用的微粒磨粉。苏联磨床类型的数目現在已达到約为金屬切削机床类型总数的5%。

磨削加工今后的发展是自动化和高速磨削。最近二、三年內在苏联所建立的一些自动綫中，磨削加工的比重約占70~80%，我国建立的自动生产綫，磨削加工亦占很大比重。自动磨床在苏联已广泛生产，在我国也开始制造。在高速方面，我国已获得了很大的成就。……諸类事实証明，我們赶上和超过英美水平的時間已經不远了。

如前所述，磨削是历史最久、用得很广泛的切削加工方法之一。但是因为磨削速度很高（30~50米/秒），切屑很薄（几个微米），切削溫度較高（1000~1500°C），切削过程历时很短（万分之一秒左右），因此磨削理論方面的研究比其他加工方法困难些，也不及其他几种加工方法研究得透彻。

但磨削所具有的优点仍已为人們普遍认识：

1. 磨削可以获得較高的精度（1~2級）和光洁度（▽▽▽1~▽▽▽▽▽12）。
2. 磨削加工余量可以很小，以节省材料。
3. 磨削可以加工淬火鋼、硬质合金及用其它金屬切削刀具不能加工的其他較硬的材料。因此磨削不但可以用在精加工上，还

可以用在粗加工上。

磨削所用的工具是砂輪，它是由磨料用特种物质粘結而成。我們將砂輪磨削时放大（图 2-1）就可以看出在砂輪的表面上杂乱无章地布滿很多棱形多角的顆粒——磨粒。在磨粒之間除有結合劑外，尚有一定的空隙。

磨削工作就是依靠这些小顆粒来切削工件表面的，所以它和其他一般金屬切削：如車、

銑、刨……等作用一样，这些鋒利的磨粒，也正如車刀、銑刀等的刀刃。同时砂輪在切削时，切削速度很高，因此可以說，磨削是一种多刀多刃的高速切削方法。

磨削时砂輪按順時針方向作高速旋轉，而工件向右移动。这时我們用放大鏡觀察就会清楚地看到，当磨粒由右面轉到最低点时，磨粒就会与工件接触，由于砂輪旋轉和工件向右移动，磨粒就会用它鋒利的尖刃首先切入零件表面，緊压在金屬层上；当压力不断增加、超过了金屬内部的分子結合力时，磨粒就会从工件表面上切下小条条的金屬磨屑，而这样連續不断工作的結果，砂輪就会从工件表面上切除很薄的一层金屬，完成工件的磨削工作。从上面情況可以觀察到，砂輪的切削過程和銑削過程基本上是相似的。

但是由于組成砂輪的磨粒，在砂輪表面的分布是无規則的，而且突出砂輪表面高度也不一样，特別是磨粒的本身形状更与銑刀刀齒不同，故磨削過程有以下几个主要特点：

1. 砂輪上每顆磨粒可看做一个刀齒，但因每个刀齒的形状无法選擇和安排，故其前角 γ 多半是負值，所以切削過程中引起較大的徑向力。

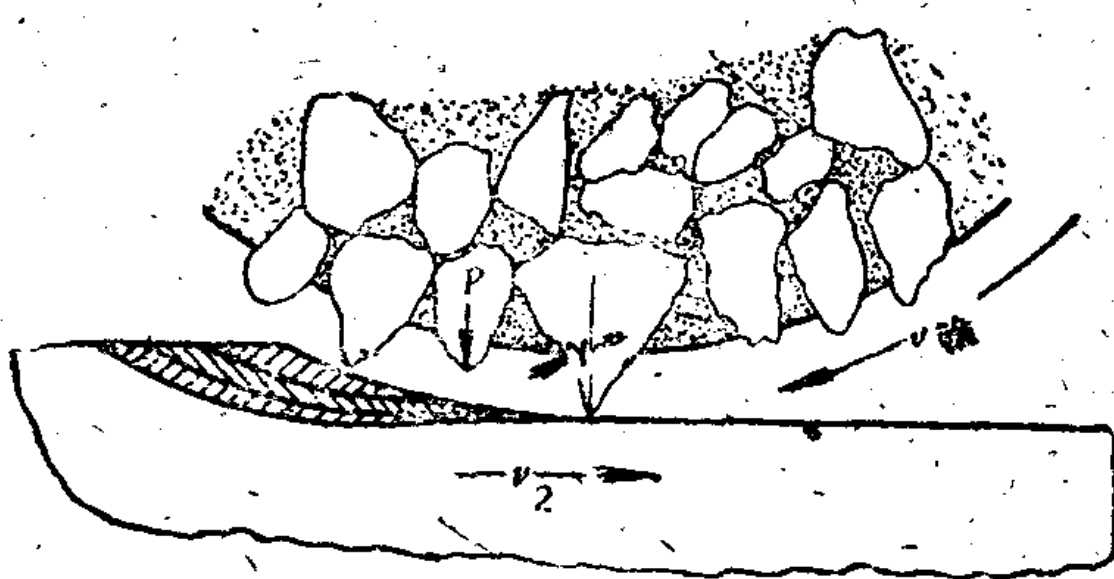


图2-1 磨削過程示意图。

2. 因磨削的切屑很薄，而磨粒并非絕對尖銳（一般來說，磨削前磨粒的刀口半徑 R 約為 8~14 微米），所以磨屑變形較大，且引起摩擦很大。同時磨粒有壓光金屬的作用，故磨削過的表面光洁度和精度很高。

3. 砂輪有自動磨鋒或部分自動磨鋒性能，這就保證了砂輪的切削性能。而且耐磨性高，耐熱性好，適于高速切削。

4. 因切屑很薄，所以磨削過程的切削力較小。但單位面積上切削力很大，約為 7000~20000 公斤/毫米²。又因為切削速度很高，故磨床所需動力亦較大。

5. 因為砂輪表面上磨粒高低不平，且分布不規則，所以每顆磨粒切削情況（切屑厚度及切削深度）各不相同。

6. 磨削過的工件表面冷硬層約為 2 微米，硬度達 $H_{RC} = 69$ 。在磨削中的表面有的地方有冷硬層有的地方並未冷硬，同時表面有退火現象，退火層有時達 10~20 微米。冷硬及退火層下面約有 25~60 微米的金屬結晶格子發生了變形，約有 0.1~0.35 毫米的金屬有殘余應力。最高殘余應力可達 35 公斤/毫米²以上。磨削後的表面還可能出現很細微的裂縫。因此要獲得更高的表面質量，磨過的表面還須再經過研磨。

2 磨削最大切屑厚度的計算

在講磨削過程時，曾經把砂輪比做銑刀，實際上兩者是有很大差別的。因為砂輪磨粒排列不規則，形狀也不規則。但把砂輪切削過程比作一把多齒銑刀的切削過程，對研究切削過程以及分析各種因素對切削過程的影響，就可大大簡化。我們研究磨削過程假定以下條件：

1. 把砂輪想象成多齒銑刀；
2. 磨粒之間的距離相等，而均勻地分在砂輪表面上，且凸出砂輪表面高度一樣；
3. 砂輪切入金屬時無滑動。

在这样假想的条件下，我們首先研究磨削过程及切屑厚度，从而研究各因素对切削力、砂輪耐用度、加工表面质量的影响。

这里我們着重研究一下外圓磨削的情况。

外圓磨削的最大切屑厚度如图2-2所示。假定工件中心不动，在这种情况下砂輪除繞自己的軸綫旋轉外，还应沿工件的外圓滚动，即砂輪中心 O_1 以工件的中心 O_2 为圆心，以 R_0 为半徑作圓周运动(行星运动)。所以

$$R_0 = \frac{D_{\text{砂輪}}}{2} + \frac{d_{\text{工件}}}{2} - t, \quad (1)$$

式中 t ——横向进給量(磨削深度)，以毫米計。

当砂輪位置由 I 到 II 时砂輪上一顆磨粒的圓周进給量等于工件外表面上的弧长 AB 。

則这顆磨粒切下的切屑如图上 $CLABC$ 表示。

显而易見，切屑的最大厚度 ($a_{\text{最大}}$) 是沿砂輪半徑方向量得的长度 BK 。

近似的把 ABK 看成三角形可知：

$$a_{\text{最大}} = BK = \widehat{AB} \sin(\alpha + \beta). \quad (2)$$

又因弧长 AB 为砂輪外圓表面一顆磨粒的圓周进給量 S_z 。

$$\text{所以 } a_{\text{最大}} = S_z \cdot \sin(\alpha + \beta). \quad (3)$$

砂輪每顆磨粒圓周进給量 S_z 为：

$$\widehat{AB} = S_z = \frac{v_{\text{工件}}}{60 \times v_{\text{砂輪}}} \times \left(\frac{\pi D_{\text{砂輪}}}{z} \right).$$

如用 t_0 代表砂輪表面磨粒之間的距离則得：

$$t_0 = \frac{\pi D_{\text{砂輪}}}{z},$$

$$\widehat{AB} = S_z = \frac{v_{\text{工件}}}{60 \times v_{\text{砂輪}}} t_0 \quad (4)$$

把公式 (4) 代入 (2) 或 (3) 式后則得：

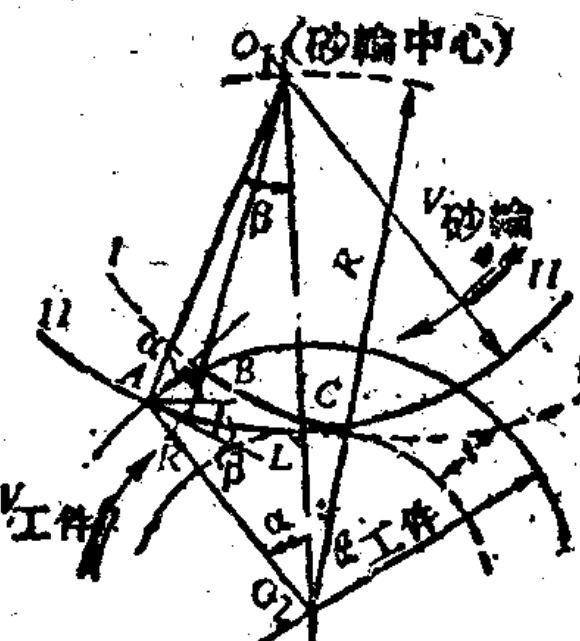


图2-2 磨屑厚度。